

МИНОБРНАУКИ РОССИИ
САНКТ-ПЕТЕРБУРГСКИЙ ГОСУДАРСТВЕННЫЙ
ЭЛЕКТРОТЕХНИЧЕСКИЙ УНИВЕРСИТЕТ
«ЛЭТИ» ИМ. В.И. УЛЬЯНОВА (ЛЕНИНА)
Кафедра АМ

ОТЧЕТ
по лабораторной работе №1
по дисциплине «Методы оптимизации»
ТЕМА: Исследование методов безусловной оптимизации.

Студент гр. 1384

Бобков В. Д.

Студентка гр. 1384

Пчелинцева К. Р.

Студентка гр. 1384

Усачева Д. В.

Преподаватель

Балтрашевич В. Э.

Санкт-Петербург

2023 г.

Цель работы.

Провести исследование методов безусловной минимизации, сравнивая процессы минимизации и результаты испытаний методов.

Выполнение работы.

1) Градиентный метод с постоянным шагом

Итерационный метод с постоянным шагом.

Формула: $x_{k+1} = x_k - t \cdot \nabla f(x_k)$

Для начала запустим программу со следующими параметрами: $a = 1.0$, $x_0 = 3, 8$, $t = 0.2$. Результат представлен на рисунке 1.

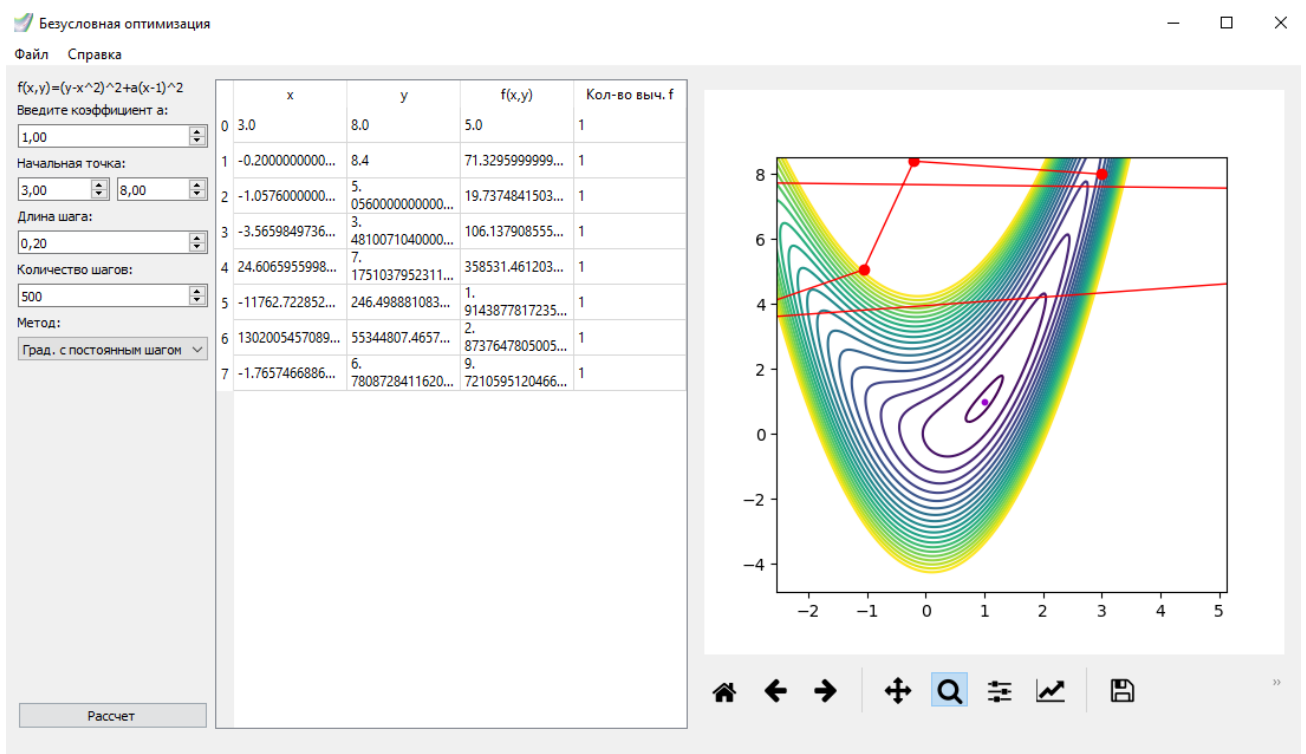


Рис.1 - Параметры (1.0 / (3, 8) / 0.2)

При данных параметрах метод разошёлся, поэтому подберём оптимальные для минимизации целевой функции. Для следующего испытания шаг уменьшен в 10 раз.

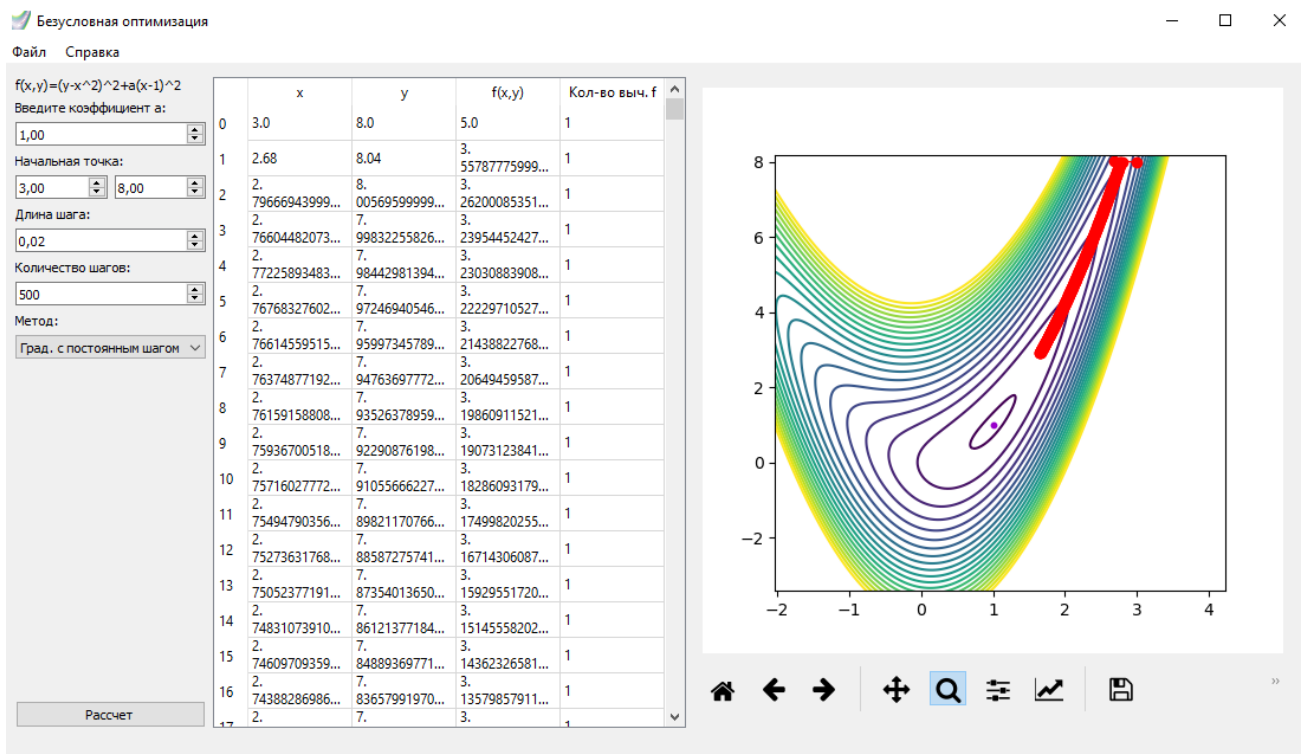


Рис. 2 - Параметры (1 / (3, 8) / 0.02)

Метод чувствителен к длине шага, при неправильном выборе – может легко разойтись.

Преимущества: начальная точка может располагаться достаточно далеко от x^* ; целевая функция должна принадлежать классу C^1 ; вычисления относительно простые. Однако метод имеет медленную скорость сходимости. При втором испытании было сделано 500 шагов, однако метод сошелся не до конца.

2) Градиентный метод с дроблением шага

Итерационный метод с изменяющимся по условию шагом

Условия выбора шага: $f(x_{k+1}) - f(x_k) \leq -\varepsilon t_k \|\nabla f(x_k)\|$, где $0 < \varepsilon < 1$

(если условие не выполняется, длину шага делим пополам)

Итерационная формула: $x_{k+1} = x_k - t_k \cdot \nabla f(x_k)$

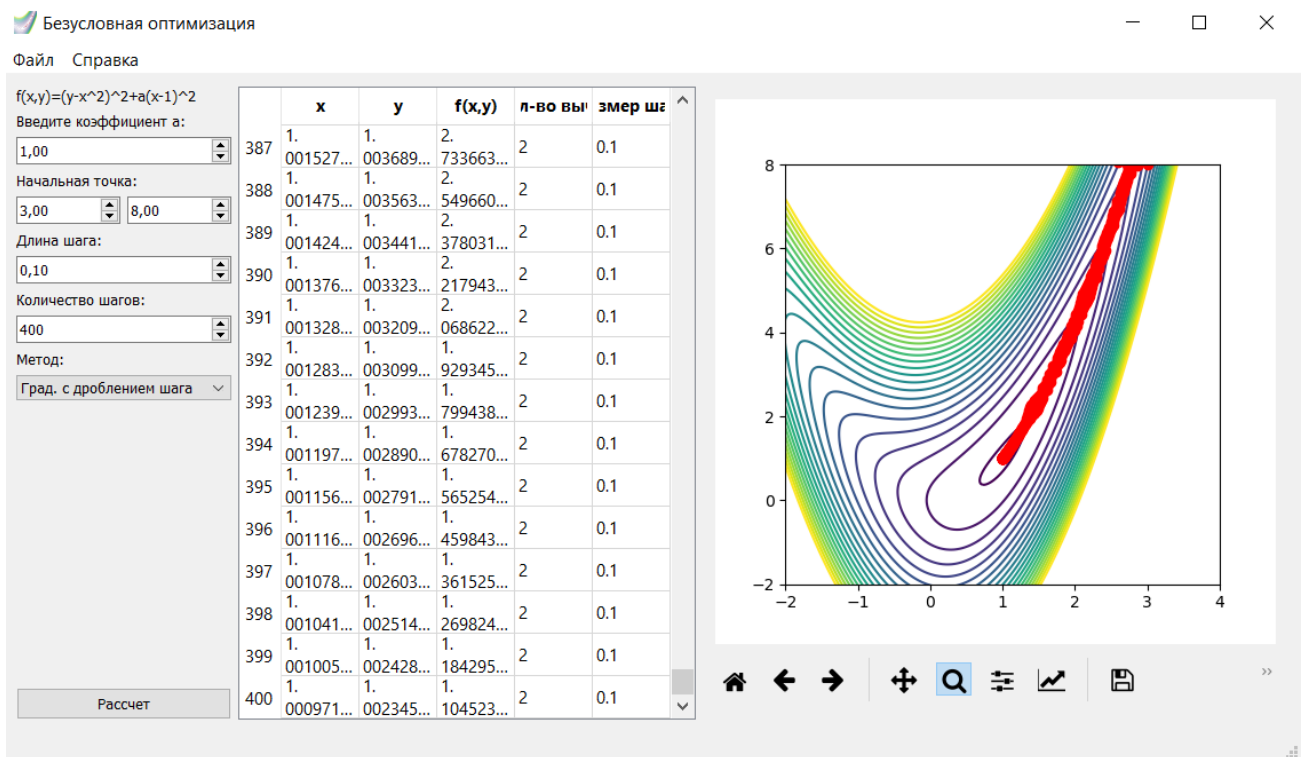


Рис. 3 - Параметры (1 / (3, 8) / 0,1)

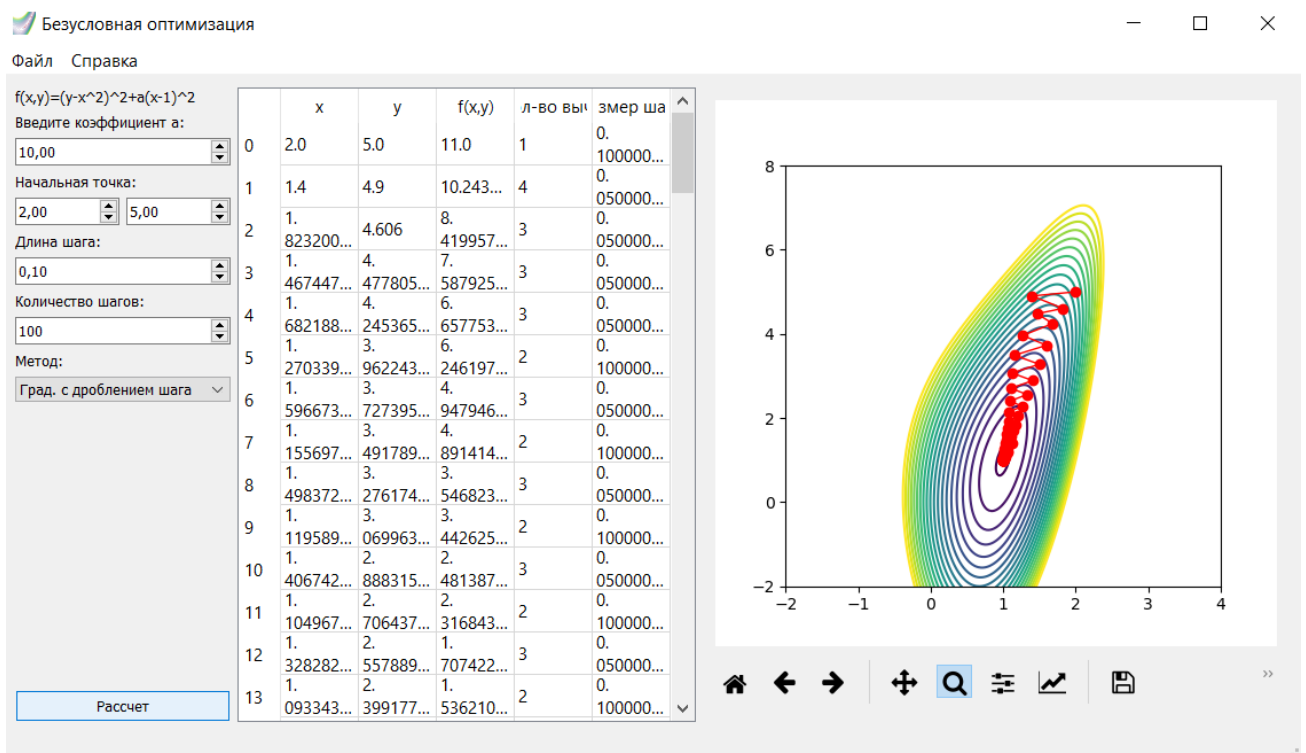


Рис. 4 - Параметры (10 / (2, 5) / 0,1)

Данный метод похож на предыдущий, но теперь длина шага регулируется условием, что влияет на сходимость метода. Из-за такого подхода сокращение шага приводит к большему количеству шагов.

3) Градиентный метод с убыванием шага как $1/k$.

Итерационный метод, шаг которого убывает с каждой новой итерацией по закону $1/k$.

Итерационная формула: $x_{k+1} = x_k - t_k \cdot \nabla f(x_k)$, где $t_k = \frac{1}{k}$

```

параметр a      1.000000  - 1
длину шага      0.000100  - 2
координаты начальной точки  2.995358  8.000579  - 3
количество шагов 10  - 4
интервал для печати 1  - 5
номер анализируемого алгоритма: 3  - 6
1 - градиентный с постоянным шагом
2 - градиентный с дроблением шага
3 - градиентный с убыванием шага как 1/k
4 - наискорейшего спуска
5 - Ньютона-Рафсона
6 - овражный алгоритм
7 - алгоритм Полака-Ривьера
8 - алгоритм Давидона-Флетчера-Пауэлла
9 - алгоритм Бройдена-Флетчера-Шанно
изменений не требуется - 0
иначе - конец работы программы

```

| 0 | ном. шага | x1 | x2 | f(x1,x2) | число выч f на 1 шаг |
|----|-----------|----------|----------|--------------|----------------------|
| 1 | 1 | 2.993795 | 8.000773 | 4.9007284235 | 1 |
| 2 | 2 | 2.993019 | 8.000869 | 4.8885424339 | 1 |
| 3 | 3 | 2.992505 | 8.000933 | 4.8804773950 | 1 |
| 4 | 4 | 2.992119 | 8.000981 | 4.8744585415 | 1 |
| 5 | 5 | 2.991812 | 8.001019 | 4.8696615611 | 1 |
| 6 | 6 | 2.991556 | 8.001051 | 4.8656762040 | 1 |
| 7 | 7 | 2.991337 | 8.001078 | 4.8622688716 | 1 |
| 8 | 8 | 2.991146 | 8.001102 | 4.8592939845 | 1 |
| 9 | 9 | 2.990976 | 8.001123 | 4.8566547247 | 1 |
| 10 | 10 | 2.990823 | 8.001141 | 4.8542834616 | 1 |

Рис. 5 - Параметры (1 / (3, 8) / 0,0001)

4) Метод наискорейшего спуска

Итерационный метод с постоянным пересчётом оптимального шага.

Итерационная формула: $x_{k+1} = x_k - t_k \cdot \nabla f(x_k)$

Формула выбора длины шага: $t_k = \operatorname{argmin}_{t>0} f(x_k - t_k \cdot \nabla f(x_k))$

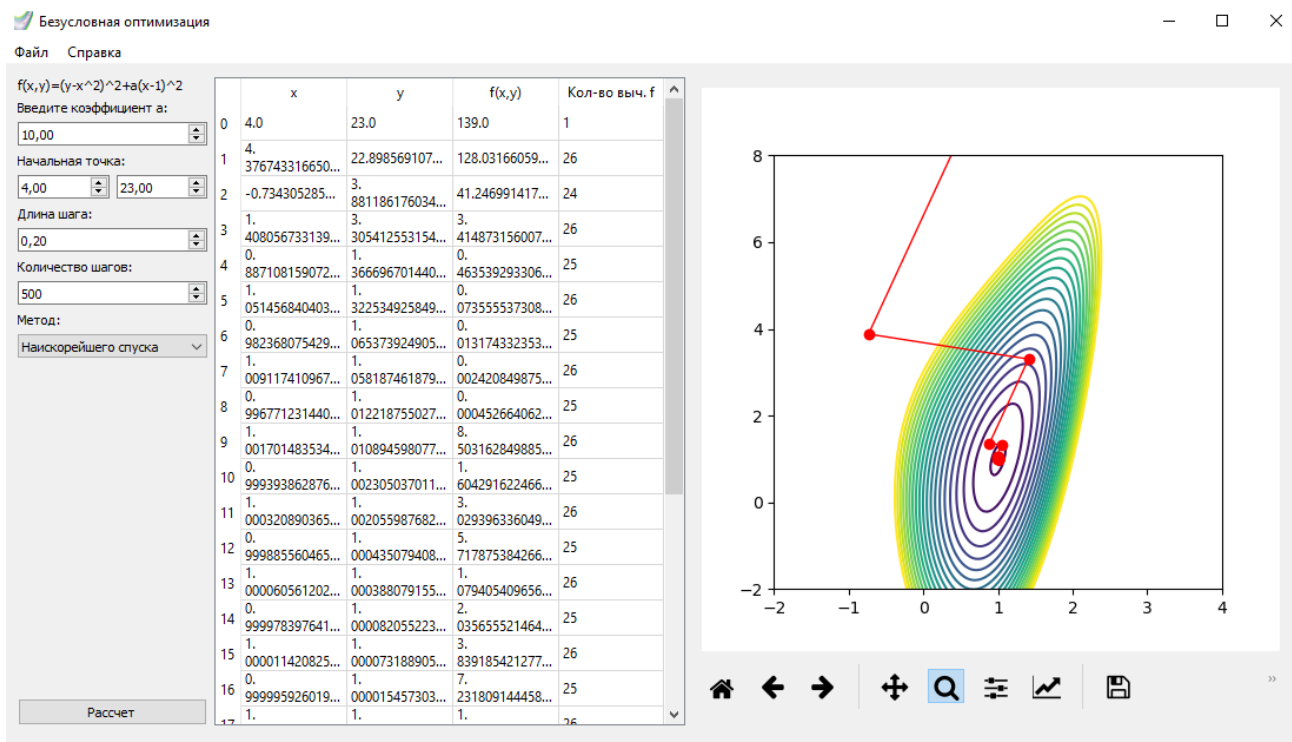


Рис. 6 - Параметры (10 / (4, 23) / 0,2)

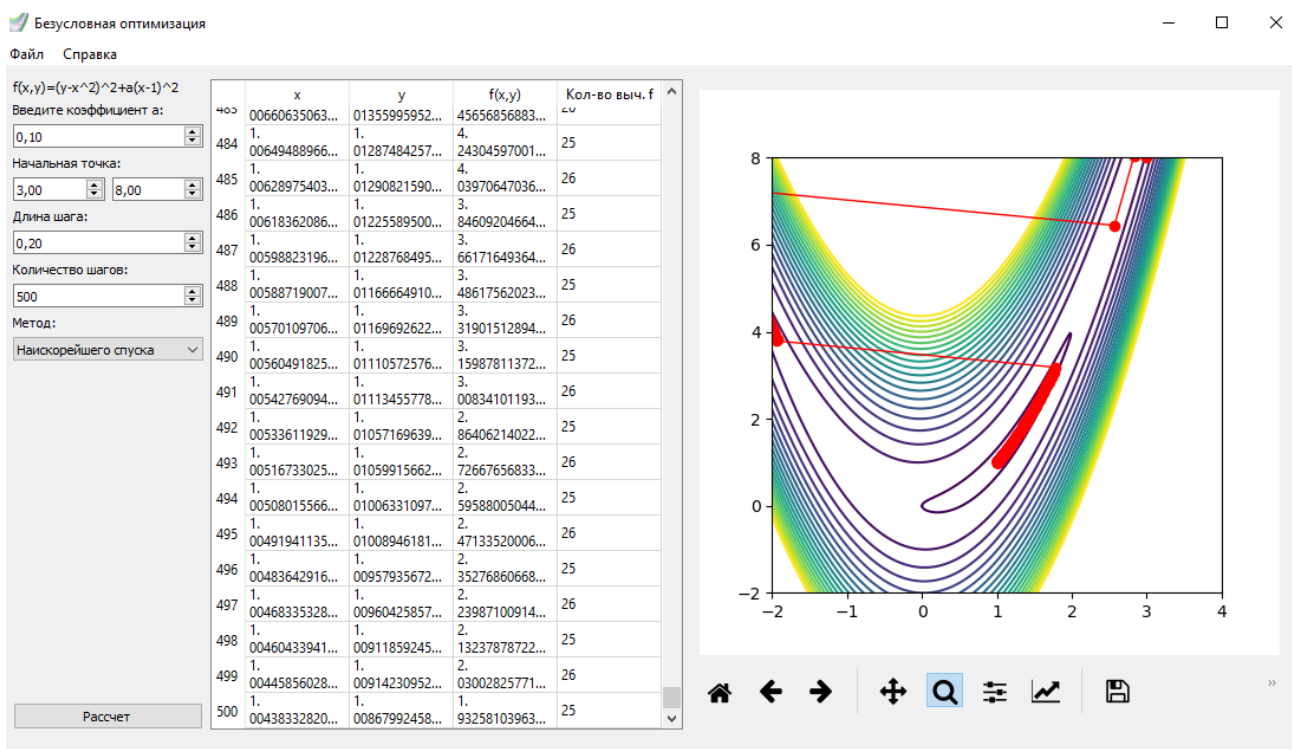


Рис. 7 - Параметры (0.1 / (3, 8) / 0,2)

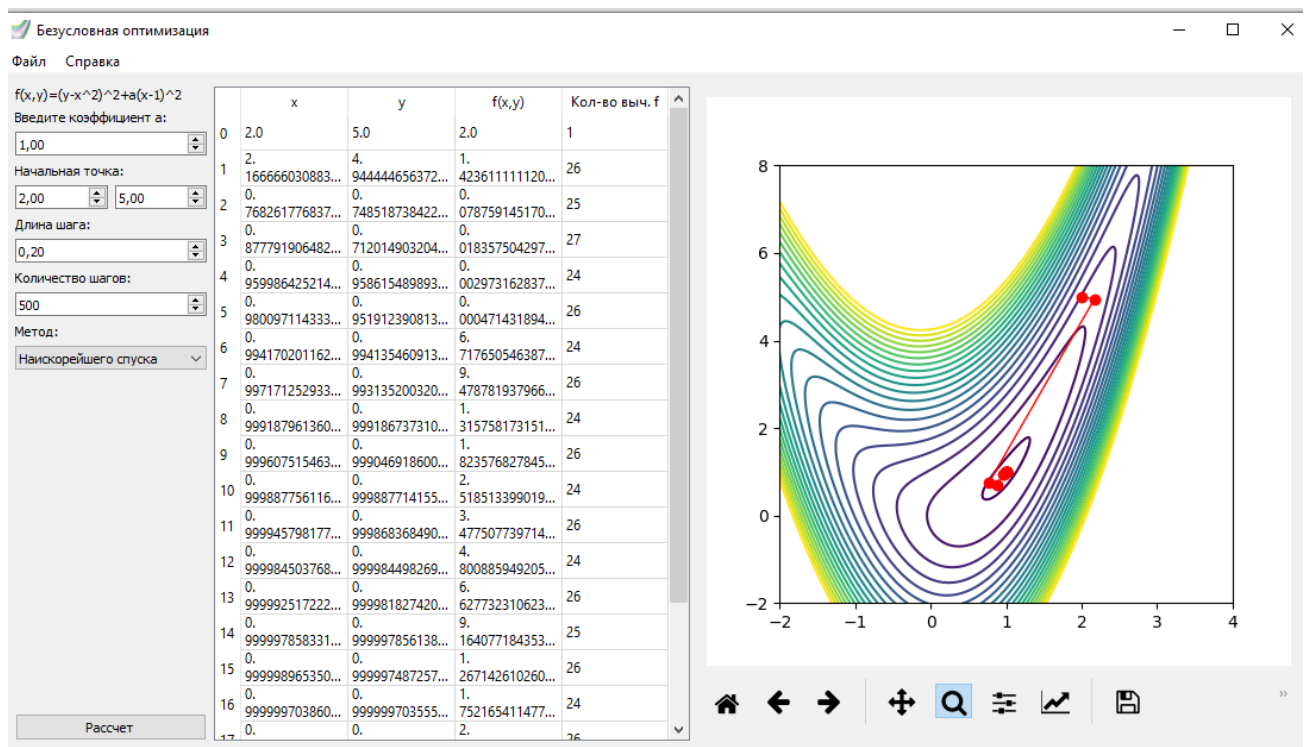


Рис. 8 - Параметры (1 / (2, 5) / 0,2)

Характерной чертой метода является постоянная ортогональность “соседних” градиентов. По сравнению с градиентным спуском с фиксированным шагом, метод сходится быстрее, однако может задерживаться в «оврагах», являющиеся локальными минимумами (рис. 6 и 8)

5) Метод Ньютона-Рафсона

Итерационный метод с вычислением обратной матрицы Гессе. Метод является модифицированной версией метода Ньютона.

Итерационная формула: $x_{k+1} = x_k - \alpha_k [H(x_k)]^{-1} \cdot \nabla f(x_k)$, где $\alpha_k > 0$

Решение одномерной минимизации:

$$\alpha_k = \min_{\alpha > 0} g_k(\alpha), \text{ где } g_k(\alpha) = f(x_k - \alpha [H(x_k)]^{-1} \cdot \nabla f(x_k))$$

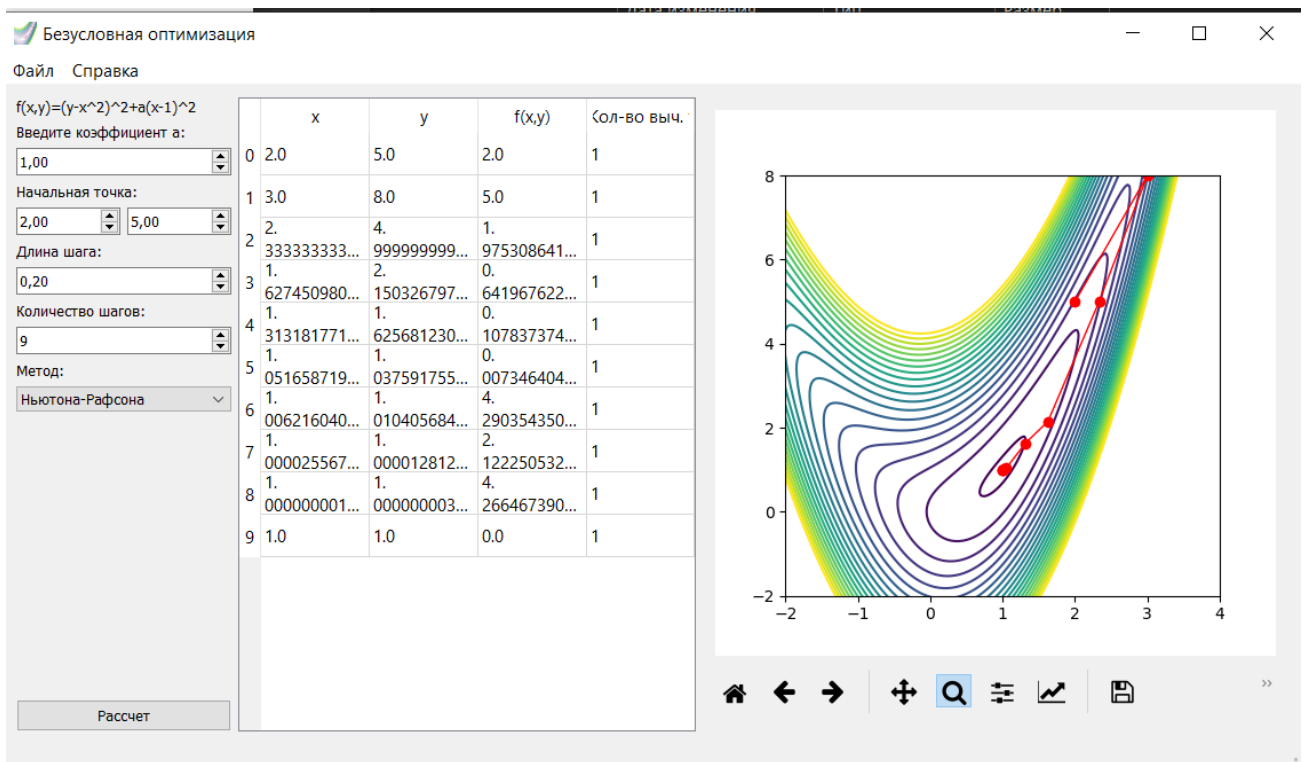


Рис. 9 - Параметры (1 / (2, 5) / 0,2)

Данный метод примечателен тем, что имеет квадратичную скорость сходимости, которая отражается в значительно меньшем количестве шагов, по сравнению с предыдущими методами.

К минусам данного метода можно отнести то, что он вычислительно затратен; имеет только локальную сходимость (хотя иногда получается минимизировать целевую функцию и из точки достаточно удаленной от глобального минимума – рис. 10); целевая функция должна быть дважды непрерывно дифференцируемой.

Модификацией метода Ньютона является возможность устранения несходимости последовательности $\{x_k\}$ к точке x^* .

б) Алгоритм Полака-Рибьера

Двухшаговый итерационный метод с оптимальным шагом.

Итерационная схема метода имеет вид:

$$\mathbf{x}_{k+1} = \mathbf{x}_k + \alpha_k \mathbf{p}_k, \text{ где } \alpha_k = \arg \min f(\mathbf{x}_k + \alpha \mathbf{p}_k), \alpha > 0;$$

$$\mathbf{p}_k = -\nabla f(\mathbf{x}_k) + \beta_k \mathbf{p}_{k-1}; \beta_k = \frac{((\nabla f(\mathbf{x}_k) - \nabla f(\mathbf{x}_{k-1})), \nabla f(\mathbf{x}_k))}{\|\nabla f(\mathbf{x}_{k-1})\|^2}, \beta_0 = 0.$$

| | | | | |
|--|----------------|-----------------|----------------|---------------|
| f(x,y)=(y-x^2)^2+α(x-1)^2 Введите коэффициент α: 10,00 | | | | |
| Начальная точка: 2,00 5,00 | | | | |
| Длина шага: 0,10 | | | | |
| Количество шагов: 15 | | | | |
| Метод: Полюка-Рибьера | | | | |
| | x | y | f(x,y) | Кол-во выч. f |
| 0 | 2.0 | 5.0 | 11.0 | 1 |
| 1 | 1. | 4. | 9. | 41 |
| 2 | 0. | 13649177634... | 0. | 40 |
| 3 | 98116680520... | 01395871396... | 00617554764... | 40 |
| 4 | 0. | 1. | 0. | 40 |
| 5 | 00206732710... | 01461959982... | 00015258289... | 39 |
| 6 | 0. | 1. | 1. | 42 |
| 7 | 00000112032... | 00000003331... | 74236743205... | 41 |
| 8 | 99999999946... | 999999999620... | 02658336914... | 41 |
| 9 | 0. | 0. | 1. | 40 |
| 10 | 00000000000... | 99999999999... | 49117994809... | 40 |
| 11 | 99999999999... | 99999999999... | 76101316827... | 39 |
| 12 | 1.0 | 1.0 | 0.0 | 33 |
| 13 | 1.0 | 1.0 | 0.0 | 33 |

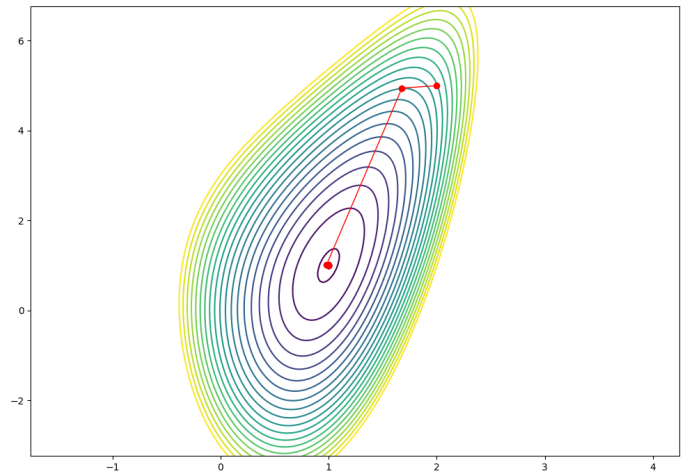


Рис. 11 - Параметры (10 / (2, 5) / 0,1)

| | | | | |
|---|----------------|----------------|----------------|---------------|
| f(x,y)=(y-x^2)^2+α(x-1)^2 Введите коэффициент α: 1,00 | | | | |
| Начальная точка: 3,00 8,00 | | | | |
| Длина шага: 0,10 | | | | |
| Количество шагов: 30 | | | | |
| Метод: Полюка-Рибьера | | | | |
| | x | y | f(x,y) | Кол-во выч. f |
| 6 | -5.64619134... | 29.85078352... | 48.28745557... | 37 |
| 7 | -4.76915854... | 19.77924096... | 42.07816472... | 40 |
| 8 | -0.64066183... | -0.05525700... | 9086520238... | 40 |
| 9 | -11.9434492... | 143.8058950... | 168.8782813... | 36 |
| 10 | -11.9581087... | 143.9592040... | 168.8396412... | 40 |
| 11 | -9.96388684... | 96.46075174... | 128.1495689... | 40 |
| 12 | -9.01254975... | 77.03826293... | 117.7887389... | 40 |
| 13 | -5.00693603... | 23.30321482... | 39.20272035... | 40 |
| 14 | -5.09569220... | 25.56846914... | 37.31555715... | 40 |
| 15 | -3.71210475... | 11.87448476... | 25.83385891... | 40 |
| 16 | -2.07452843... | 2. | 13.02087850... | 40 |
| 17 | -2.07841941... | 4. | 9. | 40 |
| 18 | -1.06487466... | 3134647050... | 4767065986... | 40 |
| 19 | -0.05022096... | 1103313088... | 3115191118... | 40 |
| 20 | -0.04831512... | -1.02681853... | 1625063229... | 40 |
| 21 | 0. | 0. | 1. | 40 |
| 22 | 0042716912... | 0042716912... | 0989683639... | 40 |
| 23 | 5556109097... | -0.05749956... | 3315863340... | 39 |
| 24 | 9155204229... | 9305755174... | 0156741657... | 41 |
| 25 | 9864299505... | 9640058415... | 0002658354... | 41 |
| 26 | 0006233638... | 0000959100... | 7138580830... | 41 |
| 27 | 9999999977... | 9999989095... | 0796556830... | 39 |
| 28 | 0. | 1. | 6. | 41 |
| 29 | 0000000000... | 0000000000... | 0727498560... | 38 |
| 30 | 1.0 | 1.0 | 0.0 | 33 |

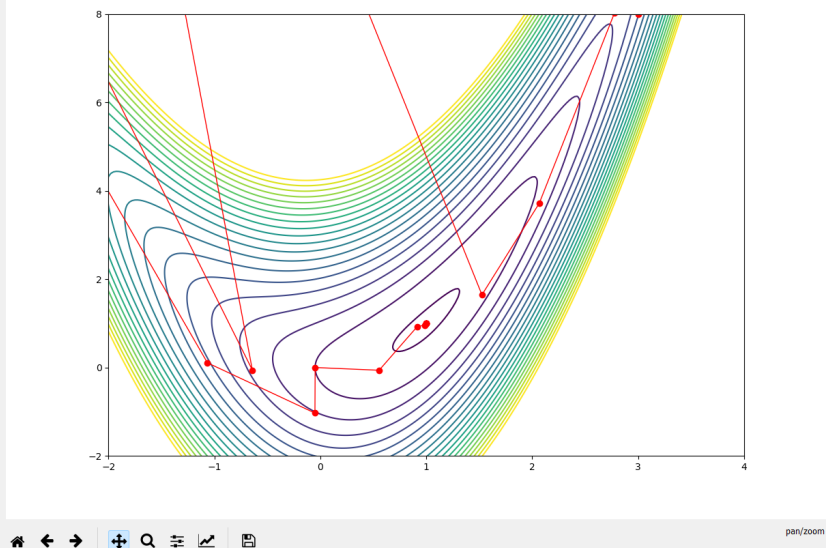


Рис 12 - Параметры (1 / (3, 8) / 0,1)

Как мы можем заметить на рис. 11 и 12, скорость сходимости метода сопряженных градиентов выше, чем для метода наискорейшего спуска, но ниже, чем для метода Ньютона.

7) Алгоритм Давидона-Флетчера-Пауэлла

Квазиньютоновская итерационная схема с перевычислением матриц.

Итерационная схема: $x_{k+1} = x_k - \gamma_k H_k \nabla f(x_k)$

Формулы для перевычисления матриц Гессе:

$$\mathbf{H}_{k+1} = \mathbf{H}_k - \frac{\mathbf{H}_k \mathbf{y}_k (\mathbf{H}_k \mathbf{y}_k)^T}{(\mathbf{H}_k \mathbf{y}_k, \mathbf{y}_k)} + \gamma_k \frac{\mathbf{p}_k \mathbf{p}_k^T}{(\mathbf{p}_k, \mathbf{y}_k)}; \quad \mathbf{H}_0 > 0$$

$$\mathbf{p}_k = -\mathbf{H}_k \cdot \nabla f(x_k), \quad \mathbf{y}_k = \nabla f(x_{k+1}) - \nabla f(x_k)$$

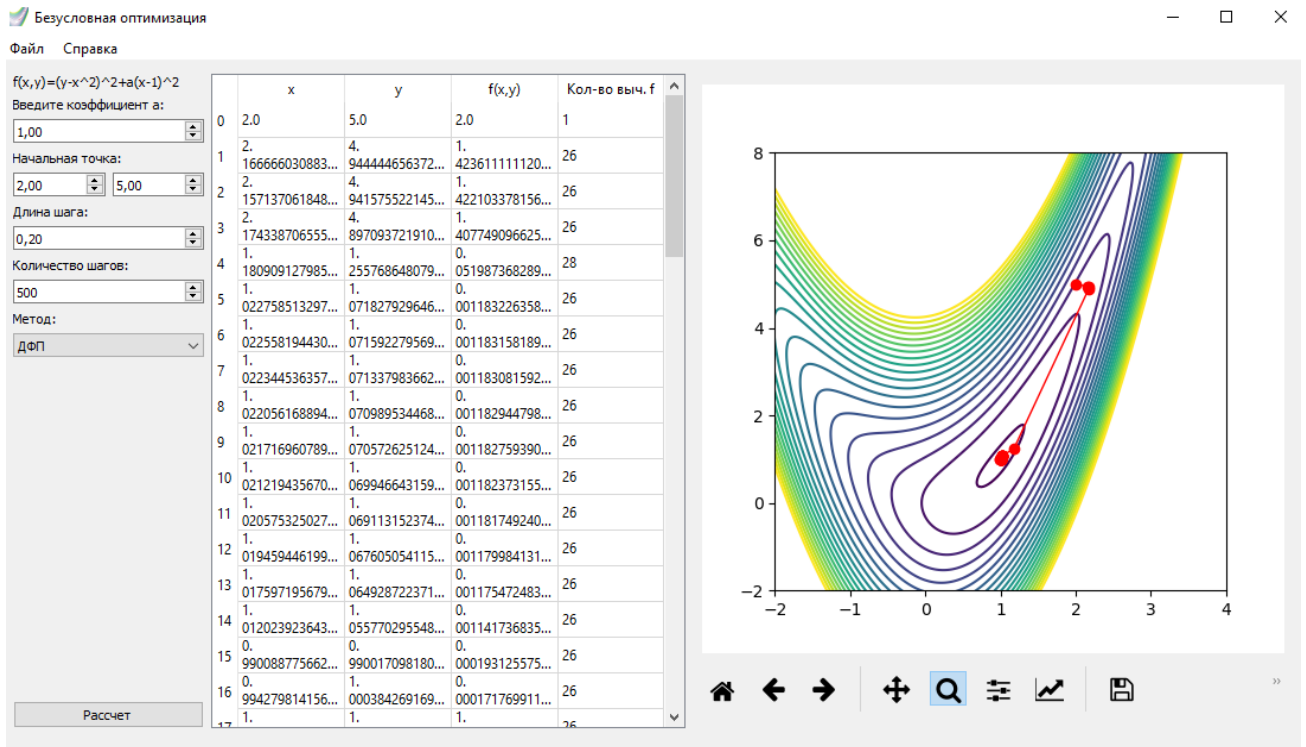


Рис 13 - Параметры (1 / (2, 5) / 0,2)

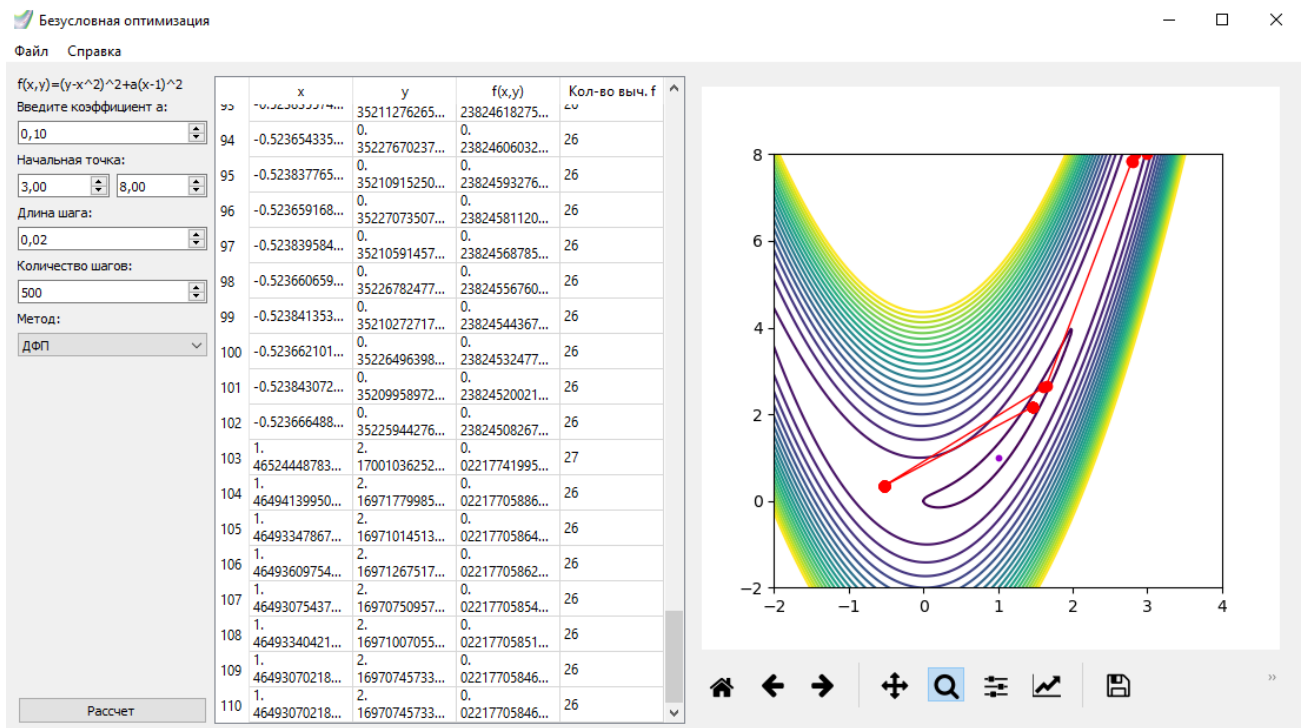


Рис 14 - Параметры (0.1 / (3, 8) / 0,02)

Преимущество квазиньютоновых методов заключается в аппроксимации обратной матрицы Гесса и пересчитывается рекуррентным способом на основе информации, полученной на k-й итерации.

Данный метод имеет сверхлинейную (быстрее геометрической прогрессии) сходимость (т.е. работает быстрее градиентного спуска, но медленнее метода Ньютона). Метод имеет глобальную сходимость. Получается, он берет от градиентных методов глобальную сходимость, а от метода Ньютона – увеличенную скорость сходимости.

8) Алгоритм Бroyдена-Флетчера-Шенно

Квазиньютоновская итерационная схема с перевычислением матриц.

Метод перевычисления матриц \mathbf{H}_k имеет вид

$$\mathbf{H}_{k+1} = \mathbf{H}_k + \frac{\rho_k \mathbf{p}_k (\mathbf{p}_k)^T - \mathbf{p}_k (\mathbf{y}_k)^T \mathbf{H}_k - \mathbf{H}_k \mathbf{y}_k (\mathbf{p}_k)^T}{(\mathbf{y}_k, \mathbf{p}_k)},$$

$$\text{где } \rho_k = \gamma_k + \frac{(\mathbf{H}_k \mathbf{y}_k, \mathbf{y}_k)}{(\mathbf{y}_k, \mathbf{p}_k)}, \mathbf{H}_0 > 0.$$

| ном. шага | x1 | x2 | f(x1,x2) | число выч f на 1 шаг |
|--|----------|----------|--------------|----------------------|
| 1 | 2.166692 | 4.944436 | 1.4236111259 | 11 |
| 2 | 1.344567 | 1.565382 | 0.1775216773 | 23 |
| 3 | 1.228406 | 1.593644 | 0.0593370741 | 11 |
| 4 | 1.042945 | 1.039985 | 0.0041244086 | 21 |
| 5 | 1.019585 | 1.047810 | 0.0004517415 | 14 |
| 6 | 1.000436 | 0.999993 | 0.0000009635 | 22 |
| 7 | 1.000060 | 1.000144 | 0.0000000042 | 12 |
| 8 | 1.000000 | 1.000000 | 0.0000000000 | 22 |
| 9 | 1.000000 | 1.000000 | 0.0000000000 | 22 |
| 10 | 1.000000 | 1.000000 | 0.0000000000 | 22 |
| 11 | 1.000000 | 1.000000 | 0.0000000000 | 22 |
| 12 | 1.000000 | 1.000000 | 0.0000000000 | 22 |
| 13 | 1.000000 | 1.000000 | 0.0000000000 | 22 |
| 14 | 1.000000 | 1.000000 | 0.0000000000 | 22 |
| 15 | 1.000000 | 1.000000 | 0.0000000000 | 22 |
| всего вычислено 136 значений функции f | | | | |

Рис. 15 - Параметры (1 / (2, 5) / 0,1)

Выводы:

В ходе выполнения лабораторной работы были рассмотрены и протестированы на практике несколько типов безусловных методов оптимизации: градиентные, многошаговые (двухшаговые), квазиньютоновые.

Метод наискорейшего спуска сходится быстрее градиентных методов (1-3), но скорость его сходимости сильно варьируется в зависимости от исходных данных, и он требует больших вычислений (т.к. предполагает решение на каждом шаге задачи минимизации - вычисление оптимального шага). Часто этот метод требует меньшего числа операций, чем градиентный метод с постоянным шагом.

Градиентные методы (1) и (3) критичны в отношении выбора исходных данных (длины шага t_k). Но зато для этих методов характерны очень малые вычислительные затраты на каждом шаге.

Модифицированный метод Ньютона-Рафсона (5) выгодно использовать, когда начальная точка приближения достаточно близка к минимуму, т.к. сходимость квадратичная. Метод требует большого числа вычислений для расчёта обратной матрицы Гессе.

Двухшаговый метод (6) используется при плохой обусловленности начальных данных. В таком случае его выгоднее использовать, чем методы градиентного спуска, т.к. он требует меньшего количества шагов (при большем количестве вычислений). Сходимость глобальная.

Остальные – квазиньютоновые методы (7-8) являются чем-то средним между градиентными методами и методом Ньютона (и его модификаций): имеют среднюю скорость сходимости, а также сходятся глобально.